

ANEJO 4.

EVALUACIÓN DE ZONAS COSTERAS EN RIESGO DE INUNDACIÓN



GOBIERNO
DE ESPAÑA

MINISTERIO
DE MEDIO AMBIENTE
Y MEDIO RURAL Y MARINO

SECRETARÍA DE
ESTADO DE CAMBIO
CLIMÁTICO

DIRECCIÓN GENERAL
DE SOSTENIBILIDAD DE
LA COSTA Y DEL MAR

EVALUACIÓN PRELIMINAR DE RIESGOS DE INUNDACIÓN Y SELECCIÓN DE ÁREAS CON RIESGO POTENCIAL SIGNIFICATIVO EN ZONAS COSTERAS DE LA DEMARCACIÓN HIDROGRÁFICA DEL EBRO

Madrid, mayo de 2011



GOBIERNO
DE ESPAÑA

MINISTERIO
DE FOMENTO

MINISTERIO
DE MEDIO AMBIENTE
Y MEDIO RURAL Y MARINO

CEDEX
CENTRO DE ESTUDIOS
Y EXPERIMENTACIÓN
DE OBRAS PÚBLICAS

ÍNDICE

1. FUNDAMENTOS CIENTÍFICO-TÉCNICOS.....	1
1.1. CAUSAS DE LAS SOBREELEVACIONES DEL NIVEL DEL MAR.....	1
1.1.1. MAREA ASTRONÓMICA.....	1
1.1.2. DEPRESIÓN BAROMÉTRICA.....	3
1.1.3. VIENTO DE MAR A TIERRA.....	4
1.1.4. EFECTO CORIOLIS.....	4
1.1.5. OLEAJE.....	5
1.1.6. OTRAS CAUSAS.....	6
1.2. MEDICIÓN Y ANÁLISIS ESTADÍSTICO DE LAS SOBREELEVACIONES.....	7
1.3. CRITERIOS DE INUNDABILIDAD.....	9
2. INFORMACIÓN UTILIZADA.....	9
2.1. NIVELES DEL MAR.....	9
2.2. COTAS DEL TERRENO.....	14
2.3. USOS DEL SUELO.....	15
3. METODOLOGÍA UTILIZADA.....	15
3.1. DELIMITACIÓN DE LAS ZONAS INUNDABLES.....	15
3.2. VALORACIÓN DE LAS ÁREAS POTENCIALMENTE INUNDABLES.....	18
4. SELECCIÓN DE LAS ÁREAS CON RIESGO POTENCIAL SIGNIFICATIVO DE INUNDACIÓN.....	19

APÉNDICES

Apéndice 1. Procedimiento de trabajo GIS para delimitar las zonas inundables
 Apéndice 2. Mapas de ubicación de las Áreas con Riesgo Potencial Significativo de Inundación marina.

ILUSTRACIONES Y TABLAS

Ilustración 1. Puntos de predicción de marea astronómica.....	2
Ilustración 2. Mapa meteorológico (AEMET).....	3
Ilustración 3. Mapa meteorológico 2 (AEMET).....	4
Ilustración 4. Mapa de corrientes (ESEO).....	5
Ilustración 5. Mareógrafos de Puertos del Estado.....	7
Ilustración 6. Boyas de oleaje de Puertos del Estado.....	8
Ilustración 7. Zonificación del litoral español por cota de inundación.....	11
Ilustración 8. Régimen medio del nivel de marea.....	11
Ilustración 9. Régimen extremal del nivel de marea.....	12
Ilustración 10. Orientaciones significativas de la costa.....	12
Ilustración 11. Régimen extremal de cota de inundación.....	13
Tabla 1. Cotas de inundación por marea y por oleaje	13
Tabla 2. Área con Riesgo Potencial Significativo de Inundación.....	20
Tabla 3. Zonas de riesgo alto del Delta del Ebro.....	20

1. FUNDAMENTOS CIENTÍFICO-TÉCNICOS

Consultado el Catálogo Nacional de Inundaciones Históricas se ha llegado a la conclusión de que la información sobre inundaciones en zonas costeras de origen marítimo, es decir, producidas por niveles extremadamente altos de la superficie del mar, es prácticamente inexistente. Las inundaciones en zonas costeras que aparecen registradas son siempre por desbordamiento de ríos o torrentes cerca de la desembocadura y éstas ya han sido incluidas en el inventario realizado para las inundaciones de origen fluvial.

Por otra parte, la aplicación de métodos geomorfológicos para identificar indicios de inundaciones pasadas en zonas costeras resulta poco eficaz porque, si la costa es elevada, no se han producido inundaciones, y si la costa es baja, el intenso desarrollo urbanístico y las numerosas regeneraciones de playas que se han llevado a cabo durante las últimas décadas ha hecho que, por un lado, hayan desaparecido dichos indicios y, por otro, que la topografía y las características hidráulicas (permeabilidad, rugosidad, pendiente) del terreno se hayan modificado sustancialmente.

En consecuencia, la evaluación preliminar de riesgos de inundación en las zonas costeras de esta Demarcación Hidrográfica se ha hecho fundamentalmente comparando los niveles del mar excepcionalmente elevados (período de retorno de 500 años) con las cotas actuales del terreno.

1.1. CAUSAS DE LAS SOBREELEVACIONES DEL NIVEL DEL MAR

1.1.1. MAREA ASTRONÓMICA

La marea astronómica se produce por la atracción que ejercen los astros (fundamentalmente la Luna, porque está cerca, y el Sol, porque tiene una gran masa) sobre los océanos. El efecto combinado de esta atracción con la rotación de la Tierra hace que en latitudes medias como las de España se manifieste como una sucesión de oscilaciones del nivel del mar con un máximo (pleamar) y un mínimo (bajamar) en cada ciclo. El período medio de oscilación es de aproximadamente doce horas y media. La carrera de marea (diferencia de cotas entre una pleamar y una bajamar sucesivas) en una localización determinada es mayor cuando los tres astros están alineados (Luna Nueva y Luna Llena), lo que se denomina marea viva. En Cuarto Creciente y en Cuarto Menguante las fuerzas atractivas son perpendiculares entre sí y como consecuencia, las carreras de marea son menores (marea muerta).

En la costa atlántica las mareas vivas son del orden de 3,5 metros, con pequeñas variaciones locales que dependen de la forma de la costa. En el Mediterráneo, sin embargo, son del orden de 0,3 metros. La diferencia se debe a que en la costa atlántica se acumula el efecto que la fuerza atractiva va ejerciendo a lo largo de todo el Océano Atlántico, mientras que en el Mediterráneo, esta acumulación se nota poco por el tamaño relativamente pequeño de su cuenca.



La evolución de los niveles de la marea astronómica en un emplazamiento concreto puede expresarse como suma de un conjunto de varias decenas de componentes senoidales;

$$\eta = \sum_m A_m \cos\left(\frac{2\pi}{T_m} t - \varphi_m\right)$$

donde η es el nivel del agua, T_m es el período de la componente de orden m .

La amplitud A_m y la fase φ_m de cada componente se determinan a partir de un análisis de los niveles registrados durante largos períodos de tiempo, usualmente un año. Una vez calculadas se pueden hacer predicciones muy exactas para decenas de años y a partir de estos datos, se pueden realizar análisis estadísticos de niveles con gran precisión.

En la figura siguiente se muestra un mapa de los puntos de la costa española donde es posible obtener datos de predicción suministrados por el departamento de Oceanografía y Meteorología de Puertos del Estado.

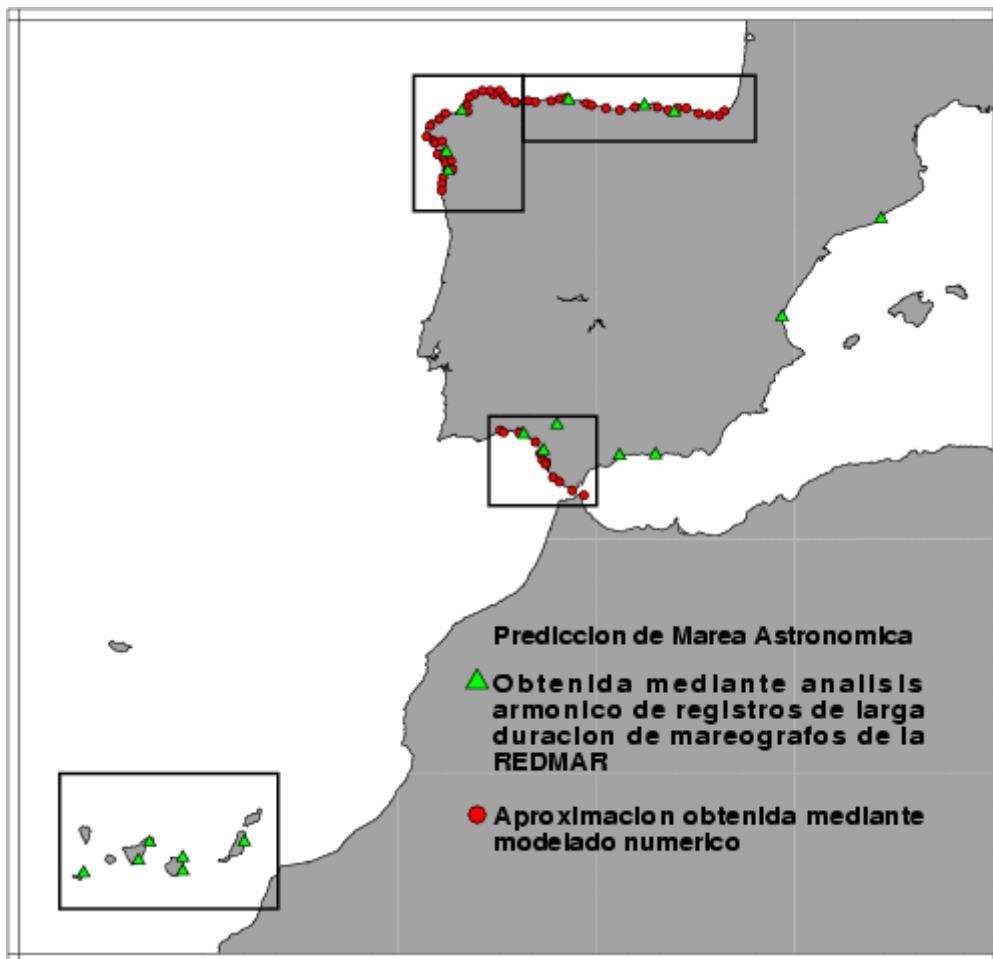


Ilustración 1. Puntos de predicción de marea astronómica

1.1.2. DEPRESIÓN BAROMÉTRICA

Cuando entre dos puntos del mar existe una diferencia de presión barométrica, se produce una fuerza que tiende a mover la masa de agua desde el punto de mayor presión hasta el de menor presión hasta que el desnivel compensa la diferencia de presión ejercida por la atmósfera. Matemáticamente se expresa de la siguiente forma:

$$\frac{\partial \eta}{\partial x} = - \frac{1}{\rho g} \frac{\partial p}{\partial x}$$

siendo p la presión barométrica, ρ la densidad del agua de mar y g la aceleración de la gravedad.

El resultado es que las depresiones barométricas producen una sobreelevación del nivel del mar de una magnitud que es aproximadamente igual a 1 cm por cada hectopascal.

En la figura siguiente puede verse un mapa del tiempo en el que se aprecia una depresión situada sobre la costa gallega: presión de 990 hectopascales respecto a la presión normal, que es de 1013 hectopascales, lo que se traduciría en una sobreelevación por depresión barométrica de 23 cm.

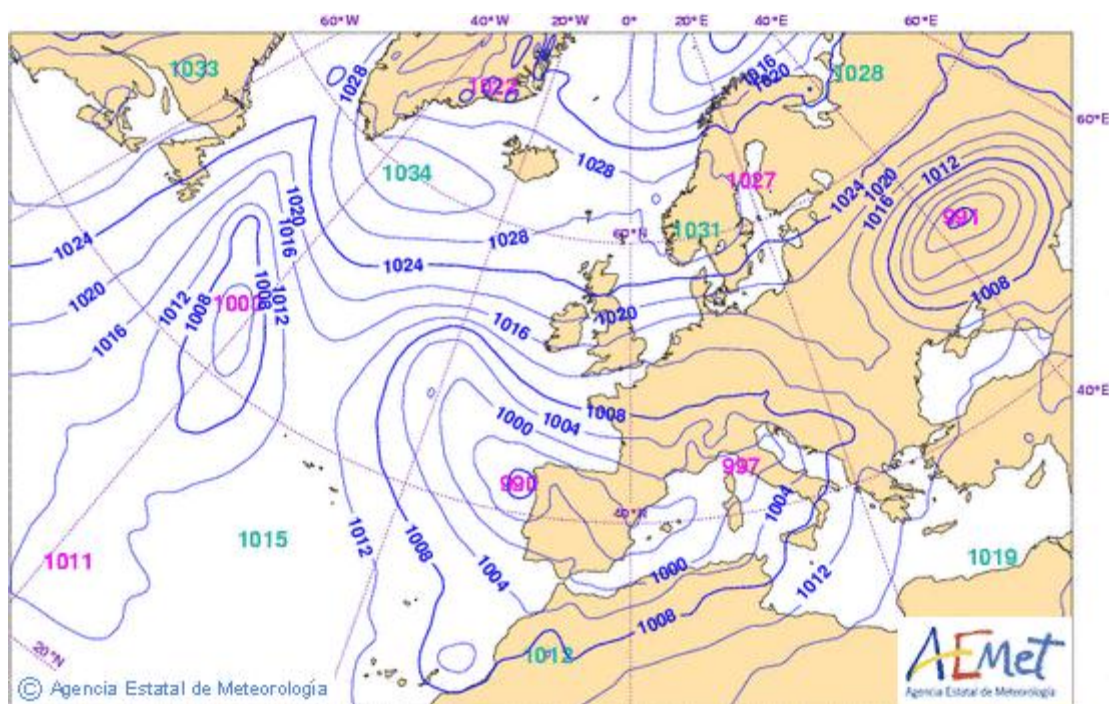


Ilustración 2. Mapa meteorológico (AEMET)

1.1.3. VIENTO DE MAR A TIERRA

Cuando se da una situación como la de la figura siguiente en la costa cantábrica en la que el viento sopla en dirección a tierra sobre una gran extensión de superficie marina, se produce una acumulación de agua en la costa hasta que se alcance una contrapendiente que contrarreste la fuerza que el viento ejerce sobre las aguas.

La expresión matemática de esta contrapendiente es:

$$\frac{\partial \eta}{\partial x} = \frac{C \rho_{\text{aire}} W_x^2}{\rho g H} \approx 10^{-7} \frac{W_x^2}{H} \quad (S.I.)$$

donde W_x es la velocidad del viento y H la profundidad del agua.

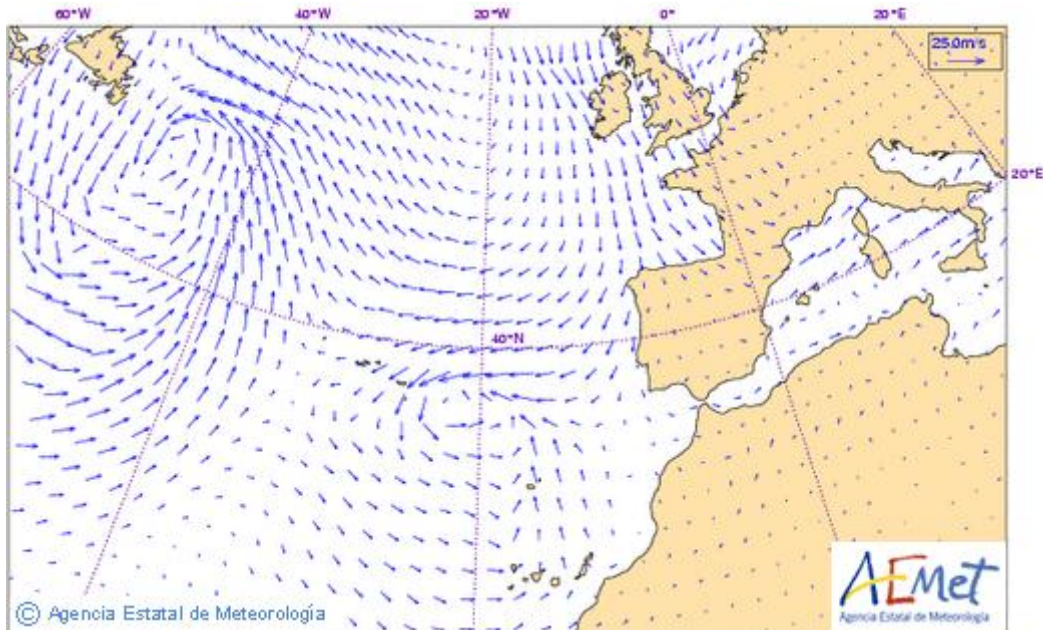


Ilustración 3. Mapa meteorológico 2 (AEMET)

1.1.4. EFECTO CORIOLIS

Cuando existe una corriente costera como sucede en la costa de las provincias de Tarragona y Castellón en la figura siguiente, el efecto Coriolis tiende a desviar la corriente hacia su derecha, pero si, como ocurre en la figura, la costa se encuentra a la derecha, lo que sucede es que se produce una acumulación de agua en la costa hasta que la contrapendiente anula la acción del efecto Coriolis. Matemáticamente puede expresarse como:

$$\frac{\partial \eta}{\partial x} = \frac{f v}{g} \approx 10^{-5} v \quad (S.I.; \lambda = 40^\circ)$$

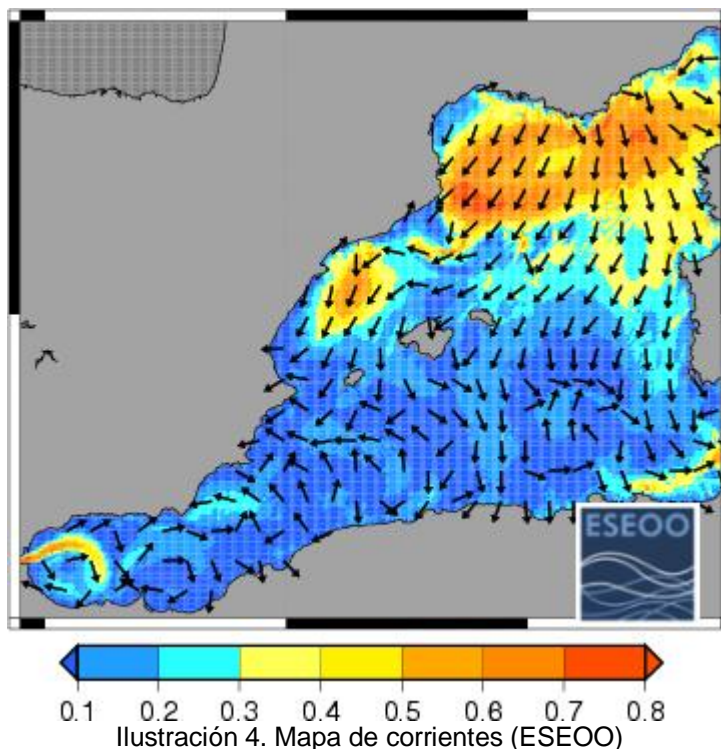


Ilustración 4. Mapa de corrientes (ESEOO)

1.1.5. OLEAJE

La presencia de oleaje representa un flujo de energía que se dirige hacia la costa. Cuando ésta es abrupta y el mar tiene suficiente calado (acantilados, diques verticales), las olas se reflejan sin romper pero su amplitud se duplica.

En caso contrario, las olas rompen y tras la rotura, la lámina de agua, que posee una cierta energía cinética, se desplaza sobre la playa hasta alcanzar un nivel máximo. Después retrocede debido a la pendiente de la playa hasta que se encuentra con la ola siguiente. La cota R del nivel máximo que alcanza la lámina de agua para una ola determinada tomando como referencia el nivel medio del mar se llama *remonte* (*run-up* en la literatura anglosajona) y varía de forma aleatoria. Su valor medio \bar{R} se denomina *remonte medio* (*setup* en la literatura anglosajona) y es siempre positivo debido a que la energía que lleva la ola cuando remonta es superior a la que trae cuando retrocede.

Se han propuesto (Guza y Thornton, 1981 y 1982) las siguientes expresiones para estimar el remonte medio \bar{R} y el remonte significativo R_s (promedio del tercio de los remontes más altos):

$$\bar{R} = 0,17H_0 \qquad R_s = 3,48 + 0,71H_0 \quad (\text{en cm})$$

siendo H_0 la altura de ola significativa en aguas profundas.



De estas expresiones se deduce que el remonte medio es aproximadamente igual a la cuarta parte del remonte significativo.

Estudios posteriores (Holman, 1986; Ruggiero, Holman y Beach, 2004; Stockdon y otros, 2006) sugieren que la relación entre remonte y altura de ola significativa es una función lineal del parámetro de Iribarren

$$\frac{R_{2\%}}{H_0} = \gamma \cdot \xi \quad \xi = \frac{\operatorname{tg} \beta}{\sqrt{H_0/L_0}}$$

donde $\operatorname{tg} \beta$ es la pendiente de la playa, L_0 la longitud de onda en aguas profundas correspondiente al período de pico, $R_{2\%}$ el valor del remonte que solo es superado por el 2% de las olas y γ una constante que varía según los autores. Una expresión de este tipo fue propuesta ya por Hunt en 1959 y por van Oorschot y d'Angremont en 1968.

De esta expresión se deduce que el alcance horizontal máximo de la lámina de agua respecto a la posición de la línea de costa cuando no existe oleaje es independiente de la pendiente de la playa. En efecto, la segunda de dichas expresiones puede escribirse de la siguiente forma:

$$A_{2\%} = \frac{R_{2\%}}{\operatorname{tg} \beta} = \gamma \sqrt{H_0 L_0}$$

siendo $A_{2\%}$ el alcance horizontal.

Si se supone que la distribución de probabilidad para el conjunto de todas las olas correspondientes a un determinado estado de mar se ajusta a una distribución de Rayleigh, cuya densidad de probabilidad es:

$$f(R) = \frac{R \cdot \exp\{-R^2/(2\sigma^2)\}}{\sigma^2}$$

la relación entre el remonte razonablemente máximo $R_{2\%}$ y el remonte significativo R_s es

$$R_{2\%} = 1,4 R_s$$

1.1.6. OTRAS CAUSAS

Otras causas de sobreelevación del nivel del mar son los tsunamis y los efectos locales en las desembocaduras de ríos y estuarios.

Con respecto a los tsunamis, están registrados una decena de ellos que han afectado a algún punto del territorio español durante los últimos 2000 años, lo que da un período de retorno inferior a 500 años si se toma como unidad geográfica de referencia el país en su conjunto. Sin embargo, la probabilidad de que un punto

determinado cualquiera del país sea inundado por efecto de un tsunami es muy inferior (período de retorno superior a 500 años), por lo que no se tendrá en consideración esta causa de sobreelevación.

Los efectos locales en las desembocaduras se tienen en cuenta al estudiar las inundaciones fluviales suponiendo como condición de contorno un nivel del mar sobreelevado.

1.2. MEDICIÓN Y ANÁLISIS ESTADÍSTICO DE LAS SOBREELEVACIONES

En España existe una red de mareógrafos instalados en diferentes puertos que está gestionada por el departamento de Oceanografía y Meteorología de Puertos del Estado. La ubicación de estos mareógrafos puede verse en la figura siguiente.



Ilustración 5. Mareógrafos de Puertos del Estado

Los niveles registrados en estos mareógrafos corresponden a la suma de la marea astronómica y a lo que suele denominarse marea meteorológica, que es la suma de las sobreelevaciones debidas a depresiones barométricas, vientos de mar a tierra y efecto Coriolis. Al estar en el interior de los puertos, en áreas abrigadas de los temporales, los mareógrafos no registran el oleaje.



CEDEX

EVALUACIÓN PRELIMINAR DE RIESGOS DE INUNDACIÓN Y SELECCIÓN DE ÁREAS CON RIESGO POTENCIAL SIGNIFICATIVO EN ZONAS COSTERAS DE LA DEMARCACIÓN HIDROGRÁFICA DEL EBRO

Un análisis estadístico de los niveles máximos registrados permite obtener el régimen extremal de niveles de marea, de donde se pueden calcular los niveles correspondientes a diferentes períodos de retorno.

Restando la marea astronómica, que como ya se ha dicho puede calcularse con una gran precisión, de los niveles registrados se obtiene una serie de residuos que corresponden a la marea meteorológica. Estos residuos pueden analizarse también estadísticamente para obtener su régimen extremal y los valores correspondientes a diferentes períodos de retorno.

Por el contrario, no existe una red similar para medir los remotes que el oleaje produce en las playas. Pero apoyándose en las expresiones que relacionan el remote con la altura de ola significativa, su análisis estadístico puede hacerse a partir del análisis estadístico de las alturas de ola, para las cuales sí existe una red de medida gestionada también por Puertos del Estado.

El oleaje se mide mediante boyas ancladas al fondo que tienen en su interior un acelerómetro que mide la aceleración que experimentan las boyas por efecto del paso de las olas. Integrando esta aceleración dos veces se obtiene el valor de la posición del nivel del mar. Como estos acelerómetros no registran las variaciones lentas, los niveles obtenidos ya tienen filtrados los efectos de la marea.

En la figura siguiente puede verse la ubicación de las boyas de esta red de medidas de oleaje.

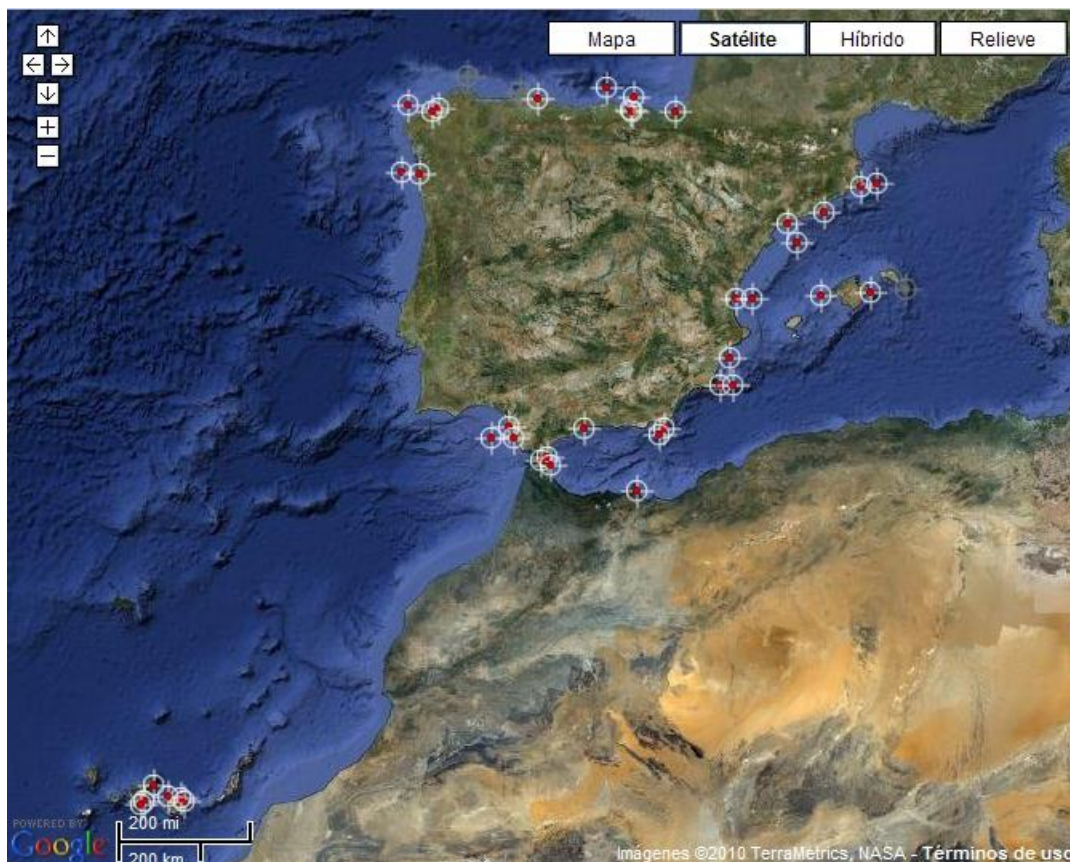


Ilustración 6. Boyas de oleaje de Puertos del Estado

1.3. CRITERIOS DE INUNDABILIDAD

En este apartado todas las cotas que se mencionan están referidas al nivel medio del mar.

Se han utilizado dos criterios de inundabilidad independientes en función de la duración de la sobreelevación.

El primero de ellos, que denominaremos *inundabilidad por mareas*, corresponde a las causas de sobreelevación que permanecen durante horas o días, tiempo suficiente para que el nivel del mar se propague hasta cualquier punto cuya cota se encuentre por debajo de dicho nivel. Entre éstas se consideran naturalmente las mareas astronómica y meteorológica, pero también se ha considerado como tal el valor del remonte medio, porque es un nivel que se sobrepasa aproximadamente la mitad del tiempo que dura un temporal. En consecuencia, se ha considerado que es inundable cualquier punto cuya cota sea inferior a la suma de la cota del nivel de marea de una pleamar media más el remonte medio calculado para un período de retorno de 500 años, siempre que exista una conexión hidráulica con la costa o que pueda formarse en condiciones de sobreelevación extraordinaria:

$$z < S_{ref} = S_{M,2\%} + \bar{R}_{500}$$

donde $S_{M,2\%}$ representa el nivel de marea que en un año promedio se sobrepasa el 2% del tiempo.

El segundo criterio de inundabilidad, que denominaremos *inundabilidad por oleaje*, corresponde al efecto del remonte de las olas. Desde este punto de vista se ha considerado inundable cualquier punto cuya cota sea inferior a la máxima cota que puede alcanzar el nivel del mar por efecto combinado de marea y oleaje con un período de retorno de 500 años, siempre que se encuentre a una distancia de la costa inferior a un valor proporcional a dicha cota:

$$z < S_{M+R,500} \quad \text{y} \quad d < 35 S_{M+R,500}$$

2. INFORMACIÓN UTILIZADA

2.1. NIVELES DEL MAR

Los valores de los parámetros obtenidos mediante el análisis estadístico de los niveles del mar para esta evaluación preliminar de riesgos de inundación de zonas costeras se han extraído del informe *Atlas de inundación del litoral peninsular español* realizado por el Grupo de Ingeniería Oceanográfica y de Costas de la Universidad de Cantabria para la entonces Dirección General de Costas en 1998.

En este estudio se descartaron los métodos directos de análisis extremal (método de los máximos anuales, método de los picos sobre un umbral, etc) porque las series de datos disponibles eran demasiado cortas. La metodología utilizada ha consistido en la



simulación del proceso físico de inundación con base en las funciones de distribución de las variables marea astronómica, marea meteorológica, altura de ola significativa y período de pico.

Los métodos de simulación son métodos numéricos genéricos que generan una población de datos con base en las funciones de distribución de las variables que gobiernan dicha población. Estos métodos permiten un modelado más real de los procesos físicos que tienen lugar al incluir todo tipo de relación entre variables, siempre que ésta sea conocida o determinada a partir de datos medidos.

En el informe, las funciones de distribución se han determinado con base en la información disponible en las siguientes fuentes:

- Boyas de oleaje pertenecientes a la REMRO (Red Española de Registro y Medida de Oleaje, financiada por Puertos del Estado y operada por el CEDEX).
- Mareógrafos pertenecientes a la REDMAR (RED de MAREógrafos de Puertos del Estado).
- Mareógrafos pertenecientes al IEO (Instituto Español de Oceanografía).
- Datos visuales de oleaje del National Climatic Data Center de Asheville, Carolina del Norte.

El proceso general del cálculo de un régimen de niveles de cota de inundación es el siguiente:

- Estudio de la dependencia estadística entre las variables involucradas.
- Estudio de la dependencia temporal entre datos sucesivos de una variable.
- Obtención de las funciones de distribución de las diferentes variables.
- Establecimiento de formulaciones para factores de los que no hay información directa (por ejemplo oleaje a pie de playa en función de oleaje en boya, remonte en función de oleaje a pie de playa).
- Simulación temporal por el método de Montecarlo.
- Determinación de los regímenes de cota de inundación.

Teniendo en cuenta la ubicación de los diferentes puntos de medida se llevó a cabo una zonificación del litoral español cuyo resultado se indica en la ilustración 7.

Para cada una de estas zonas, mediante la simulación se obtuvieron los regímenes medio y extremal de los niveles del mar debido a la marea (astronómica más meteorológica).

Los resultados para la zona VIII-a, que es la aplicable a la zona costera de la Demarcación Hidrográfica del Ebro, se pueden ver en las dos figuras 8 y 9.

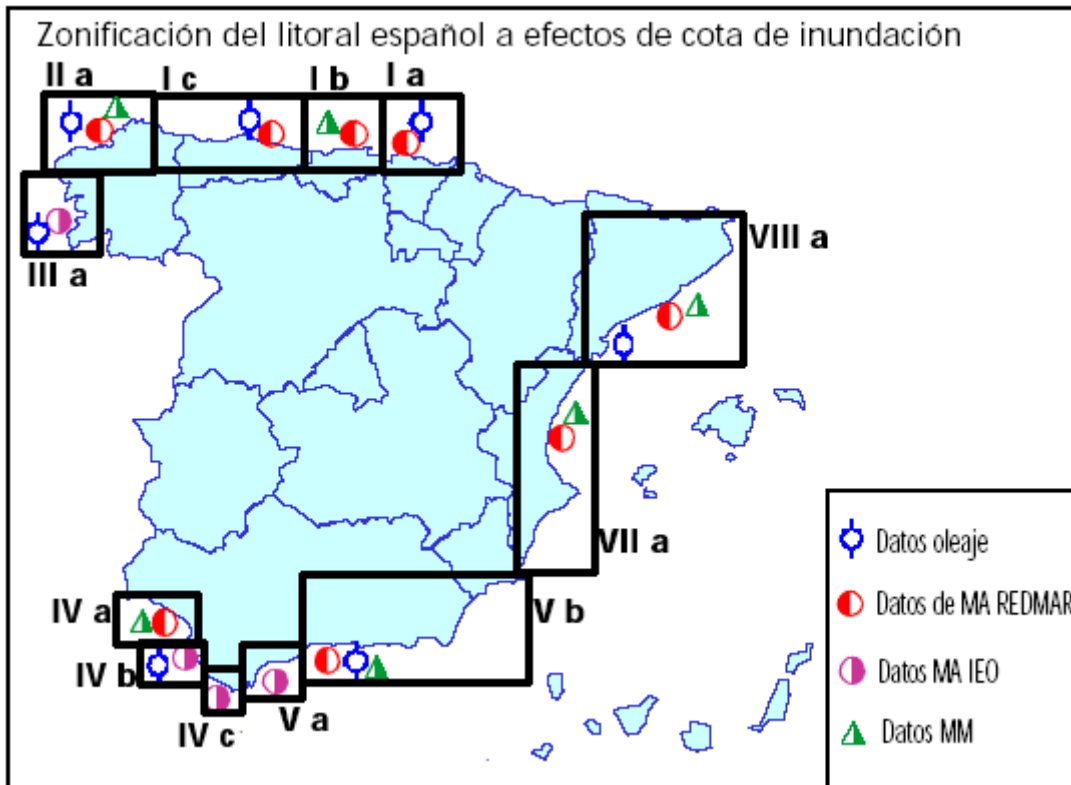


Ilustración 7. Zonificación del litoral español por cota de inundación

RÉGIMEN MEDIO DEL NIVEL DE MAREA

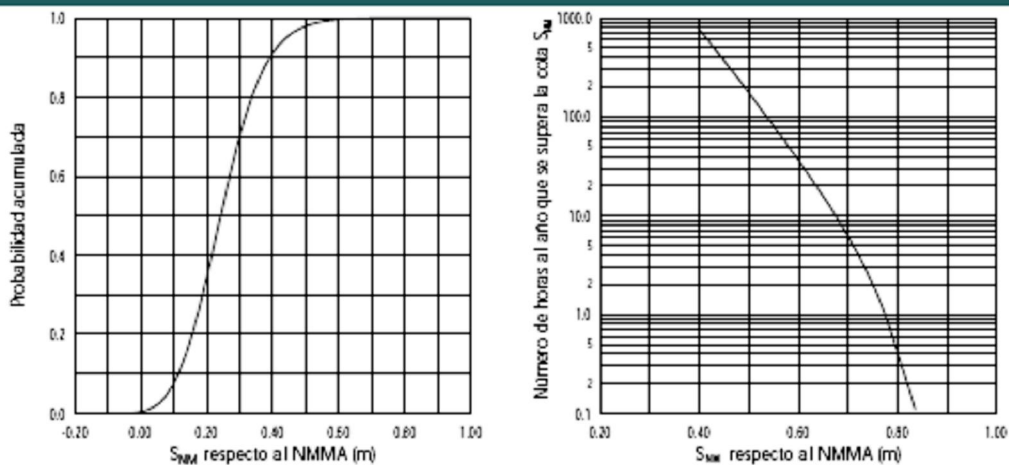


Ilustración 8. Régimen medio del nivel de marea

RÉGIMEN EXTREMAL DE NIVEL DE MAREA

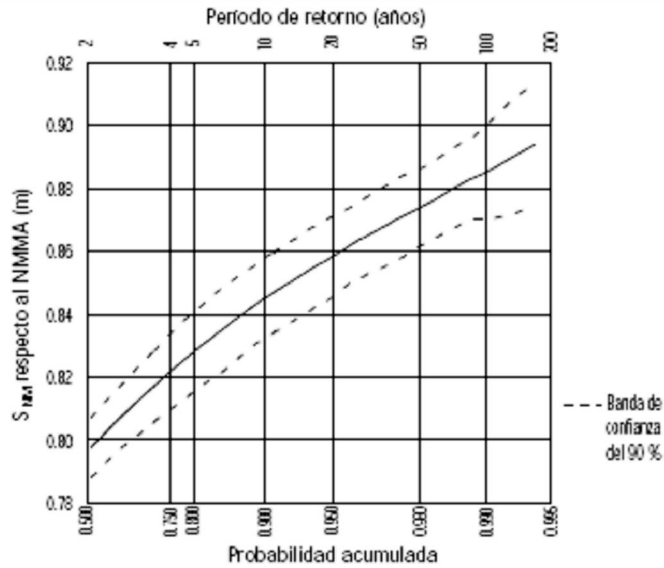


Ilustración 9. Régimen extremal del nivel de marea

Por otra parte, en cada zona, a partir de la estadística de datos de oleaje medidos en las boyas, haciendo propagaciones de oleaje, primero hacia atrás hasta llegar a grandes profundidades y luego hacia delante hasta llegar al pie de playa, se obtuvieron los regímenes medio (que no se han usado en el presente informe) y extremal de los niveles de mar debidos al efecto combinado de marea y remonte (denominado *cota de inundación* en el informe de la Universidad de Cantabria) para cada una de las orientaciones de playa que se han considerado significativas. Para la zona VIIIa dichas orientaciones se han representado en la figura siguiente mediante un vector normal a la playa con un color diferente para cada una de ellas:

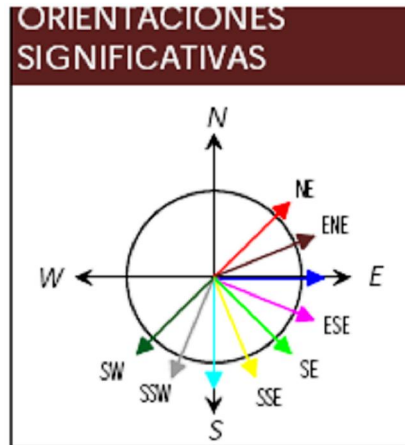


Ilustración 10. Orientaciones significativas de la costa

En la figura siguiente se representan los regímenes extremales de la cota correspondiente a marea más remonte (S_{M+R}) para cada una de las orientaciones. El color de cada curva corresponde a la orientación de playa representada en la figura anterior con un vector del mismo color.

RÉGIMEN EXTREMAL DE COTA DE INUNDACIÓN EN UNA PLAYA ABIERTA

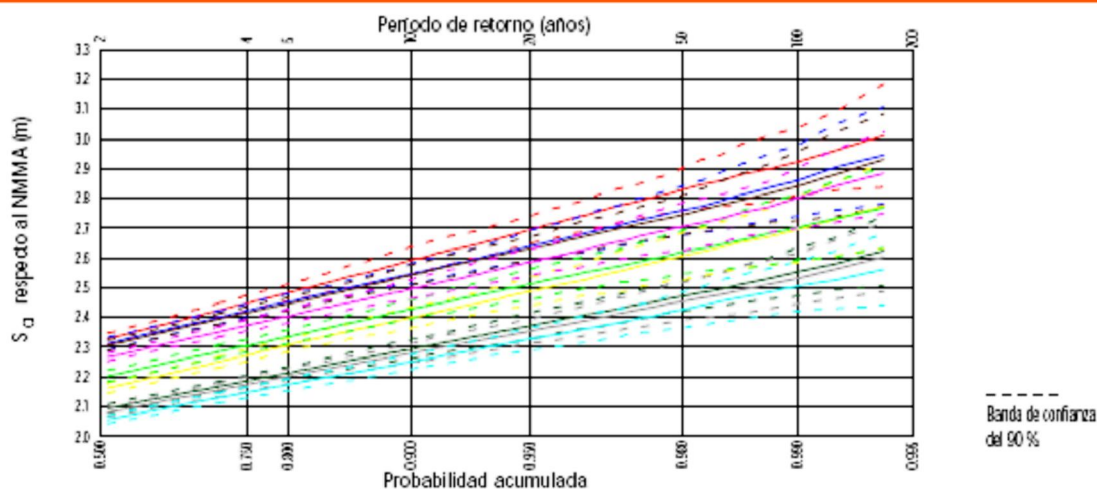


Ilustración 11. Régimen extremal de cota de inundación

Las curvas de los regímenes extremales se han extrapolado para calcular una estimación de las cotas correspondientes al período de retorno de 500 años.

A partir de estos gráficos se obtienen los siguientes valores (expresados en metros) para esta Demarcación Hidrográfica:

Tabla 1. Cotas de inundación por marea y por oleaje

$S_{M, 2\%}$		0.476
$S_{M+R, 500}$	NE	3.20
	ENE	3.12
	E	3.09
	ESE	3.03
	SE	2.90
	SSE	2.90
	S	2.70
	SSW	2.77
	SW	2.79

El informe de la Universidad de Cantabria no proporciona información sobre el remonte medio. En base a las formulaciones propuestas por diferentes autores supondremos que el remonte medio para un período de 500 años es igual a la cuarta parte del remonte máximo para el mismo período de retorno, y éste a su vez lo supondremos igual a la diferencia entre la cota máxima de marea más remonte para 500 años y la cota del nivel de marea que en un año promedio se excede un 2% del tiempo:

$$\bar{R}_{500} = \frac{R_{2\%,500}}{4} = \frac{(S_{M+R,500} - S_{M,2\%})}{4}$$



Con estas hipótesis, el primer criterio de inundabilidad (inundabilidad por %áreas+) puede expresarse de la forma siguiente:

$$z < S_{ref} = S_{M,2\%} + \bar{R}_{500} = \frac{3}{4} S_{M,2\%} + \frac{1}{4} S_{M+R,500}$$

2.2. COTAS DEL TERRENO

Modelo Digital del Terreno

Como base de trabajo se ha utilizado un Modelo Digital del Terreno (MDT) proporcionado por el Instituto Geográfico Nacional (IGN), en hojas de 5 x 7.5 km (una cuarta parte de las hojas 1:25.000). Como referencia para la ubicación de las hojas sobre la cartografía base vectorial (línea de costa, batimetría, etc), se ha utilizado la malla de hojas 1:25.000, motivo por el cual en el presente trabajo las hojas de partida con las cuales se ha trabajado se han denominado %subhojas+.

Se han detectado errores del MDT en las zonas de interfase tierra-agua (en especial roquedos, bajos y en bastante ocasiones, playas), en los que aparecen cotas positivas en el mar. Se considera que pueden ser fallos de la metodología utilizada para generar los rasters a partir de las ortofotos. La tecnología LIDAR podrá proporcionar en el futuro una mayor fiabilidad en los datos altimétricos y, por tanto, será más apropiada para los estudios de inundaciones en detalle.

Servicio de ortofotos del PNOA

A pesar de disponer de gran parte de las ortofotos correspondientes a las subhojas de trabajo (proporcionadas asimismo por el IGN), se han utilizado fundamentalmente los servicios WMS del Institut Cartogràfic de Catalunya para realizar consultas rápidas, lo cual ha permitido agilizar las comprobaciones a la hora de contrastar el MDT con las imágenes reales. Gracias a este servicio se han buscado soluciones a los errores detectados con un considerable ahorro de tiempo.

Línea de costa

Debido a la cantidad de errores detectados en el MDT en las zonas de interfase tierra-agua, se consideró que no se debía utilizar la cota 0 del modelo como línea de costa (lo cual era la propuesta del primer procedimiento diseñado), ya que desvirtuaba la realidad y contribuía a incluir partes de mar como zonas inundables y, como consecuencia, a dejar sin inundar zonas con riesgo potencial de inundación.

Se decidió, por tanto, buscar una línea de costa fiable a partir de la cual definir las zonas potencialmente inundables por oleaje. El CEDEX dispone de una línea de costa digitalizada a una escala 1:50.000 (a partir de las cartas náuticas del Instituto Hidrográfico de la Marina). Sin embargo se requería utilizar una línea de más detalle (al menos con el mismo detalle del MDT de partida).

Finalmente se optó por solicitar al IGN la línea de costa obtenida en el marco del SIOSE (Sistema de Información de Ocupación del Suelo en España), que se ha trazado en base a las ortofotos del PNOA (esto es, con la misma información de partida que el MDT con el que se iba a trabajar).

Los trabajos, por tanto, se han realizado con la línea de costa del SIOSE, si bien cabe señalar que la línea ha sido suavizada según la morfología natural de la costa en ciertos tramos, esto es, se han eliminado estructuras transversales a la costa como espigones, diques, etc, así como roques, islotes u otros entrantes en el mar aislados, lo cual es un requerimiento de la metodología aplicada (ver capítulo 3).

2.3. USOS DEL SUELO

Para realizar la valoración final de las zonas inundables se ha utilizado la misma metodología e información de partida utilizada para el desarrollo de la Cartografía de Zonas Inundables en aguas continentales en la Demarcación Hidrográfica del Ebro, esto es, la cartografía del SIOSE.

3. METODOLOGÍA UTILIZADA

Todos los trabajos de tratamiento de información espacial se han desarrollado con ArcGIS 9.3.1. Para la mayoría de los pasos se ha trabajado en *Batch* (modalidad que permite procesar muchos ficheros a la vez).

3.1. DELIMITACIÓN DE LAS ZONAS INUNDABLES

Como ya se ha comentado, se han delimitado zonas inundables por oleaje y zonas inundables por marea siguiendo dos procedimientos diferentes. El trabajo original se planteó para tres períodos de retorno (10, 100 y 500 años) y dos escenarios (2010 y 2100), si bien los entregables con este informe se limitan al período de retorno de 500 años para 2011.

En la metodología diseñada, los valores de cotas de inundación a aplicar a cada subhoja dependían de la orientación de las mismas. Por ello, en primer lugar se elaboró una hoja de cálculo en la que se recogió la orientación de la línea de costa para cada subhoja (orientación de la perpendicular, dado que son los vientos y corrientes que más van a condicionar la afección del mar sobre la misma). Para las subhojas del %Interior+ (esto es, sin línea de costa), se ha aplicado la orientación con mayores cotas de inundación de las hojas %Costeras+adyacentes, para estar del lado de la seguridad.

Además, la hoja de cálculo recoge los valores de inundación por marea y oleaje utilizados para el cálculo de las cotas de inundación a aplicar y anchura de la primera franja costera afectada (en el caso del oleaje). Como ya se ha explicado, dichos valores son diferentes para cada orientación y se han extrapolado para los tres períodos de retorno del Atlas de inundación del litoral español (elaborado por la



Universidad de Cantabria para el Ministerio de Medio Ambiente), a partir de los gráficos de regímenes medios y extremales.

A partir de los valores recogidos en la hoja de cálculo y de cara a comenzar el proceso de análisis espacial, se prepararon una serie de tablas con ArcGIS para reclasificar de manera automática los raster. La reclasificación de los raster consiste en la asignación de nuevos valores a las celdas, en función de los criterios que le interesen al usuario. Lo que interesaba en este caso era obtener de los raster las zonas que quedaban entre la cota 0 y las cotas de inundación obtenidas a partir de los cálculos descritos. En particular, se prepararon tablas con los valores S_{ref} (para el caso de las inundaciones por marea) y con los valores $S_{M+R,500}$ (para el caso de las inundaciones por oleaje), para cada una de las orientaciones y períodos de retorno. Los valores nuevos se almacenan como un código GRID. Este código sirve posteriormente para la limpieza de los polígonos obtenidos a partir de los raster reclasificados. En el primer paso interesa guardar todos los valores de los raster, con objeto de conservar las subhojas enteras, ya que el contorno sirve posteriormente para cortar la línea de costa por subhojas. Se generan, por tanto, tres valores: del mínimo a 0, de 0 a S_{ref} y de S_{ref} al máximo. A continuación se convierten los raster reclasificados en polígonos (*Spatial analyst- Convert- Raster to Feature*).

En este punto, el procedimiento se divide en el cálculo de las zonas inundables por oleaje y por marea. El esquema general del procedimiento está recogido en el Apéndice 1. Este esquema ha servido de guía para todas las personas implicadas en el trabajo GIS. A continuación se apuntan los pasos definidos en el mismo.

Zonas inundables por oleaje

- Cortar la línea de costa con las cajas obtenidas del *Reclassify*. Resultado: se obtiene la línea de costa correspondiente a cada subhoja. Herramienta Clip (*ArcToolBox-Analysis Tools-Extract- Clip*).
- Suavizar la línea de costa en los casos en que sea necesario. Resultado: se evita la pérdida de zonas inundables en los casos en los que existen accidentes del terreno que pueden desvirtuar el análisis. Herramienta: Editor.
- Buffer a las líneas de costa: teniendo en cuenta la orientación de las subhojas, se aplica un buffer a cada una de las líneas en función del valor recogido en la hoja de cálculo preparada. Resultado: franja costera en la que se va a aplicar el valor de cota de inundación por oleaje. Herramienta: Buffer (*ArcToolBox-Analysis Tools-Proximity- Buffer*)
- Cortar los raster que tienen línea costera con los buffer, para poder aplicar las cotas de oleaje. Resultado: raster correspondiente a la primera franja costera. Herramienta: Extract by mask (*ArcToolBox-Spatial Analyst Tools-Extract- Extract by mask*)
- Reclasificar los raster y hacer polígonos. Resultado: obtener los polígonos correspondientes a las zonas de inundación por oleaje. Herramientas: *Reclassify* y *Raster to Feature*.

- Limpieza: revisar la coherencia de los polígonos. Eliminar los elementos que no tengan conexión con el mar o unión a la primera franja. Herramienta: Editor.
- Merge: unión de todos los polígonos limpios. Resultado: polígono final de oleaje. Herramienta: Merge (*ArcToolBox- Data Management Tools- General-Merge*)

Zonas inundables por marea

- Seleccionar las zonas inundables por marea: de las cajas resultantes del primer Reclassify, se seleccionan las que tienen GRID code = 2 (es decir, las zonas que están entre la cota 0 y el valor S_{ref}). Resultado: polígonos de inundación por marea. Herramienta: Select (*ArcToolBox- Analysis Tools- Extract- Select*)
- Limpiar los polígonos de marea: con el *Editor*, eliminar todos los polígonos que hayan quedado en el mar (por fuera de la línea de costa). Asimismo, englobar polígonos de pequeño tamaño en manchas únicas.
- Merge: unión de todos los polígonos limpios. Resultado: polígono final de marea. Herramienta: Merge (*ArcToolBox- Data Management Tools- General-Merge*)

Resultado de la definición de las zonas inundables por marea: la práctica totalidad del Delta del Ebro resulta una zona potencialmente inundable por marea.

El caso de la urbanización Ruimar

Tras la metodología empleada, la urbanización Ruimar (noreste del Delta del Ebro) quedaba sólo parcialmente inundada. Sin embargo, existe un estudio realizado por el Ministerio de Medio Ambiente, Medio Rural y Marino y la Universidad de Cantabria sobre el retroceso de la línea de costa en la zona del Delta del Ebro en el horizonte temporal del año 2045, en el que la línea de costa resultante en 2045 quedaría a la altura de la urbanización (ver imagen de la página siguiente).

Este resultado se considera suficientemente justificativo como para incluir dicha urbanización como polígono dentro de las zonas inundables.

En el Mapa Base del Apéndice 2 se presentan las zonas inundables resultantes del procedimiento descrito representadas por el riesgo (daño potencial) frente a las inundaciones (metodología descrita en el punto siguiente).



3.2. VALORACIÓN DE LAS ÁREAS POTENCIALMENTE INUNDABLES

Para calcular el valor de los daños potenciales de las zonas inundables, en primer lugar se simplificaron los polígonos, haciendo un *Merge* de las zonas inundables por marea y las inundables por oleaje, y posteriormente un *Dissolve*, de manera que quedara una sola capa de zonas inundables.

A continuación, la capa simplificada de zonas inundables se cruzó con la capa de usos del suelo del SIOSE correspondiente al Delta del Ebro, con objeto de disponer de los usos del suelo para las zonas inundables costeras.

Dentro del SIOSE, cada polígono define el tipo de usos de suelo que se da en función del porcentaje ocupado. Esto es, en un mismo polígono se pueden dar usos del suelo diferentes, tales como cultivos, edificaciones, acantilados, etc. Y en uno de los campos se especifica qué porcentaje de cada uso está presente en dicho polígono. Además, se diferencia entre coberturas simples y complejas (una cobertura compleja puede contener varias coberturas simples).

Los polígonos de usos del suelo que se han considerado de importancia para definir las áreas con riesgo alto de inundación son aquellos con un uso superior al 50% de edificaciones (EDF) y viales, aparcamientos y zonas peatonales sin vegetación (VAP).

Para ello, antes de cruzar los usos del suelo con las zonas inundables se realizó un join de la capa de usos del SIOSE con la tabla PASA_TOT contenida en la

geodatabase TABLAS PLANAS.mdb, añadiendo un nuevo campo relleno mediante la siguiente operación (el resultado numérico es un porcentaje):

$$\text{ED_tot_VAP (Campo de tipo Float)} = [\text{EDF}] + [\text{EDFva}] + [\text{EDFem}] + [\text{EDFvd}] + [\text{EDFea}] + [\text{EDFnv}] + [\text{EDFec}] + [\text{EDFvaec}] + [\text{EDFemec}] + [\text{EDFvdec}] + [\text{EDFeaec}] + [\text{EDFnvec}] + [\text{VAP}]$$

Por tanto, el resultado del cruce de las dos capas tiene un campo en el que se refleja qué polígonos cumplen el criterio definido y, por tanto, qué zonas inundables se pueden considerar con vulnerabilidad alta por el valor de los usos del suelo. Cabe decir que a los viales se les ha otorgado diferente rango, teniendo en cuenta el aislamiento en que quedan los núcleos de población que comunican en el caso de quedar inundados. En particular, se han considerado de vulnerabilidad alta las carreteras y caminos que comunican y dejan aisladas a la población residente en las urbanizaciones de Riumar, la Platja de L'Eucaliptus y El Poblenou del Delta.

El resultado del cruce con los usos del suelo del SIOSE, por tanto, es una capa de polígonos de zonas inundables costeras en las que se diferencia entre zonas de riesgo alto importante (las que en el SIOSE están definidas con más de un 50% de EDF y VAP) y de riesgo alto menos importante (zonas que en el polígono del SIOSE tienen menos del 50% de EDF y VAP), siendo preliminarmente sólo las primeras las que cabría estudiar con más detalle en la segunda fase de los trabajos de implementación de la Directiva.

4. SELECCIÓN DE LAS ÁREAS CON RIESGO POTENCIAL SIGNIFICATIVO DE INUNDACIÓN

Posteriormente todos los resultados obtenidos de forma automática han sido revisados manualmente: cuando los polígonos del SIOSE contienen usos del suelo diferentes, no se permite discernir dónde están situados dichos usos (lo cual supone un problema fundamentalmente en el caso de polígonos grandes). Por ejemplo, si el polígono tiene edificaciones, no se especifica dónde (puede que estén concentradas en una cota no alcanzable por el agua), y por tanto pueden no ser coincidentes con las zonas inundables.

Por esta razón, para la selección final de las Áreas con Riesgo Potencial Significativo de Inundación (ARPSI) era necesario contrastar los polígonos resultantes con ortofotos, para comprobar si, en efecto, las zonas que resultaban con vulnerabilidad alta contenían edificaciones o viales.

Finalmente, dado que prácticamente en su totalidad resulta inundable y que, además, engloba varias zonas de riesgo alto importante, se ha definido todo el Delta del Ebro como una sola ARPSI. En la tabla 2 se apunta la superficie asociada a la misma (que no se corresponde con la superficie de las zonas inundables dentro de esa área, sino la del área que tiene que ser objeto detallado de estudio en las siguientes fases de los trabajos) y las coordenadas del centroide. Asimismo, en la tabla 3 se apuntan las zonas de riesgo alto importante de inundación, con sus correspondientes superficies y centroides. Estas zonas son las que, por tener mayor vulnerabilidad, se verían más afectadas por las inundaciones.



Tabla 2. Área con Riesgo Potencial Significativo de Inundación

Mapa	ARPSI	Superficie (m ²)	Coordenada X	Coordenada Y
Plano general	Delta del Ebro	630852000	308164	4505973

* La coordenadas están en proyección UTM, huso 31, Datum ETRS89.

Tabla 3. Zonas de riesgo alto importante del Delta del Ebro

Mapa	Zonas con riesgo alto del Delta del Ebro	Super. (m ²)	Coord. X	Coord. Y
1	Roqué-Mar y Ampolla-Mar (L'Ampolla)	433073.0	305911	4519254
2	Urbanización Riumar	921860.0	317344	4510659
3	Edificaciones cercanas al Muntell de les Verges	27869.7	318141	4509904
4	Zona de la Isla de Buda	28502.6	317060	4509288
5	Granges Luisiana	56465.9	311136	4508459
6	Urbanización Eucaliptus	430910.0	312728	4503272
7	El Poblenou del Delta	131970.0	304433	4502022
8	Casa de Fusta	30362.5	303475	4503416

* La coordenadas están en proyección UTM, huso 31, Datum ETRS89.

En el Apéndice 2 del presente Anejo se incluye un plano general de la ARPSI y un plano de detalle de cada una de las zonas de riesgo alto importante. Se hace notar que la escala numérica que aparece en los planos se corresponde con una impresión del plano a tamaño A3.



GOBIERNO
DE ESPAÑA

MINISTERIO
DE FOMENTO

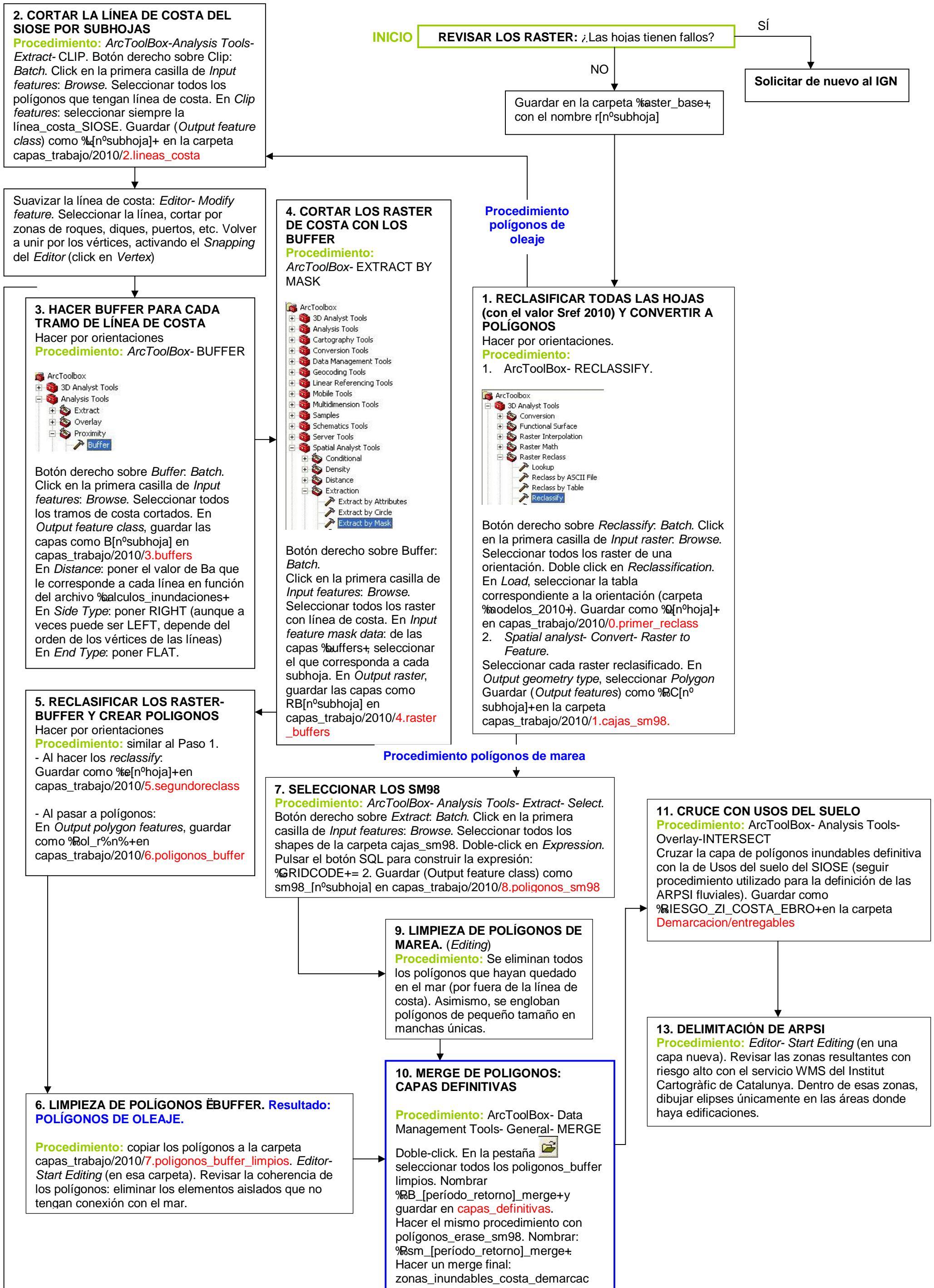
MINISTERIO
DE MEDIO AMBIENTE
Y MEDIO RURAL
Y MARINO

CEDEX
CENTRO DE ESTUDIOS
Y EXPERIMENTACIÓN
DE OBRAS PÚBLICAS

APÉNDICE 1

PROCEDIMIENTO DE TRABAJO GIS PARA DELIMITAR LAS ZONAS INUNDABLES (ARCGIS 9.3)

PROCEDIMIENTO DE TRABAJO GIS PARA DELIMITAR LAS ZONAS INUNDABLES (ARCGIS 9.3)





GOBIERNO
DE ESPAÑA

MINISTERIO
DE FOMENTO

MINISTERIO
DE MEDIO AMBIENTE
Y MEDIO RURAL
Y MARINO



CEDEX
CENTRO DE ESTUDIOS
Y EXPERIMENTACIÓN
DE OBRAS PÚBLICAS

APÉNDICE 2

MAPAS DE UBICACIÓN DE LAS ÁREAS CON RIESGO POTENCIAL SIGNIFICATIVO DE INUNDACIÓN (ARPSI)



Leyenda

-  ARPSI
-  Zonas de riesgo alto importante















